

PARALELIZAÇÃO DE ALGORITMOS DE TRIMAP UTILIZANDO A ARQUITETURA CUDA

Aluno: Henrique Ferraz de Arruda

Orientador: Prof. Adj. Antônio Carlos Sementille

Co-orientador: Prof. Adj. João Fernando Marar

13 de Novembro de 2012

1 Introdução

- *Matting* Digital
- Canal Alfa
- *Trimap*
- CUDA

2 Objetivos

3 Metodologia

- Métodos Implementados
- Métodos Desenvolvidos
- Implementação em CUDA

4 Resultados

- Testes iniciais
- Resultados utilizando o *trimap* gerado pelo kinect e *chromakey*
- Resultados utilizando o *trimap* gerado por *chromakey*
- Testes em vídeo utilizando todo o *pipeline*

5 Conclusões e Trabalhos Futuros

6 Publicações

7 Referências Bibliográficas

1 Introdução

- *Matting* Digital
- Canal Alfa
- *Trimap*
- CUDA

2 Objetivos

3 Metodologia

4 Resultados

5 Conclusões e Trabalhos Futuros

6 Publicações

7 Referências Bibliográficas

Técnicas de combinações de imagens, com extração de objetos para montar uma cena final, são muito utilizadas em aplicações que vão desde montagens em fotos até produções cinematográficas.

A partir delas é possível diminuir o custo das produções e melhorar o resultado final.

└ Introdução

└ Matting Digital

O *matting* digital é uma técnica para combinação de imagens digitais, onde há a extração dos objetos em primeiro plano de imagens fixas ou uma sequência de imagens (vídeo). Essa técnica tem sido amplamente estudada há mais de 20 anos.

A extração consiste em separar os objetos em primeiro plano do plano de fundo, considerando o nível de transparência dos objetos.



└ Introdução

└ Canal Alfa

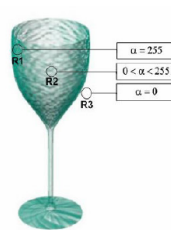
Para que sejam mantidas as transparências da superfície, é utilizado o canal alfa, o qual representa o nível de transparência de cada pixel da imagem. Representa, portanto, a interpolação linear de cores entre as duas camadas (plano de fundo e plano da frente) e varia entre 0 e 1 [Porter e Duff 1984]. A composição das imagens é calculada utilizando a Equação 1.

$$C = \alpha F + (1-\alpha)B \quad (1)$$

O valor de alfa computacionalmente é armazenado em uma variável de 8 bits, dessa forma é necessário fazer uma mudança de escala, na qual o valor máximo passa a ser 255 e deixa de ser real [Smith e Blinn 1996].



(a)



(b)



(c)

Figura: (a) o objeto à ser extraído, (b) Extração do objeto (c) composição final. Fonte: [Smith e Blinn 1996].

└ Introdução

└ Trimap

O *trimap* consiste, basicamente, em uma demarcação na imagem dos pontos de certeza, que são *background* e *foreground*, e pontos de incerteza, estes que devem ser classificados posteriormente pelo algoritmo de *matting*. Na maior parte dos casos o *trimap* é feito manualmente.

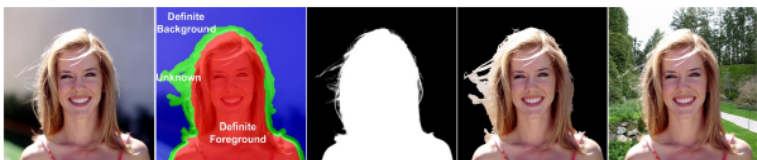


Figura: Exemplo de *trimap*. Fonte: [Wang e Cohen 2007]

CUDA (*Compute Unified Device Architecture*) é a arquitetura de GPGPU (*General Purpose Graphics Processing Unit*), que é uma placa gráfica para uso geral, desenvolvida pela NVIDIA.

Ela se aproveita da presença de múltiplos processadores e alta banda de memória para realizar operações em grande volume de dados. Sua utilização é adequada para resolver problemas que apresentem paralelismo de dados, em que a mesma instrução é executada paralelamente em dados diferentes [Nvidia 2011].

1 Introdução

2 Objetivos

3 Metodologia

4 Resultados

5 Conclusões e Trabalhos Futuros

6 Publicações

7 Referências Bibliográficas

└ Objetivos

Obter implementações paralelizadas, baseadas na arquitetura CUDA, de técnicas de geração automáticas de *trimaps*, visando a sua utilização em aplicações que envolvam *matting* digital com restrições de tempo.

- Analisar técnicas de *matting*, com informações extras;
- Analisar as funcionalidades do Kinect pertinentes ao projeto;
- Investigar a utilização da arquitetura CUDA na solução da implementação das técnicas de *matting* digital de imagens e vídeo;
- Implementar as técnicas de geração automática de *trimaps*, segundo a abordagem sequencial (para processadores de uso geral) e paralelizada (para a arquitetura CUDA);
- Comparar o desempenho das implementações para a arquitetura CUDA com as implementações para processadores de uso geral.

1 Introdução

2 Objetivos

3 Metodologia

- Métodos Implementados
- Métodos Desenvolvidos
- Implementação em CUDA

4 Resultados

5 Conclusões e Trabalhos Futuros

6 Publicações

7 Referências Bibliográficas

Pipeline

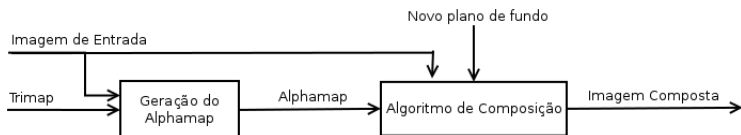


Figura: *Pipeline* do *Matting* Digital.

└ Metodologia

└ Métodos Implementados

Chroma Key

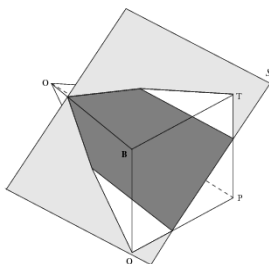


Figura: Cubo RGB com a intersecção do plano S com a pirâmide de inclinação OBTPQ. Fonte: [Bergh e Laliovi 1999].

└ Metodologia

└ Métodos Implementados

Pipeline

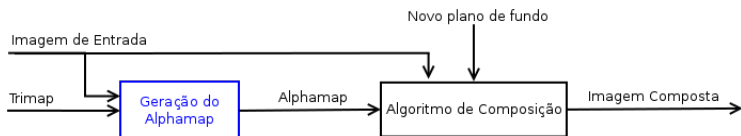


Figura: *Pipeline do Matting Digital.*

Para auxiliar nos testes e comparação dos resultados foram implementados o *Bayesian Matting* [Chuang et al. 2001] e o *Robust Matting* [Wang e Cohen 2007], a partir de códigos cedidos pelos autores de [Sun et al. 2006]. Estes programas foram modificados, pois possuíam limitações quanto ao tamanho das imagens e uso de bibliotecas.

└ Metodologia

└ Métodos Desenvolvidos

Os primeiros métodos foram desenvolvidos com o intuito de gerar o *trimap* automaticamente.

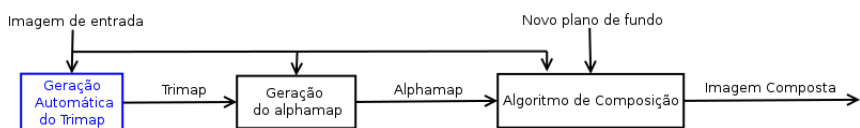


Figura: Pipeline do *Matting* Digital.

└ Metodologia

 └ Métodos Desenvolvidos

Automatização do *Trimap* com uso de Kinect e *chroma key*

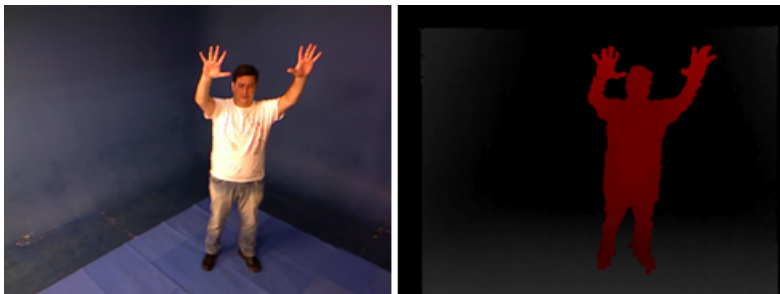


Figura: Imagens de saída do Kinect.

Automatização do *Trimap* com uso de Kinect e *chroma key*

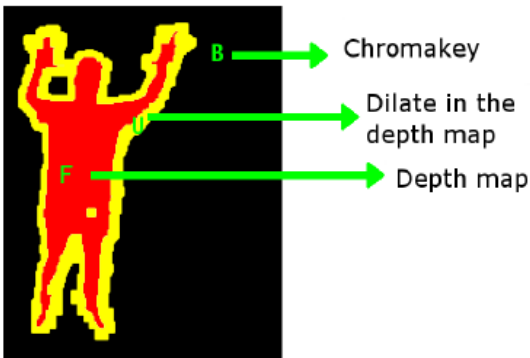


Figura: Automatização do *Trimap* com uso de Kinect e *chroma key*.

Automatização do *Trimap* com uso de *chroma key*

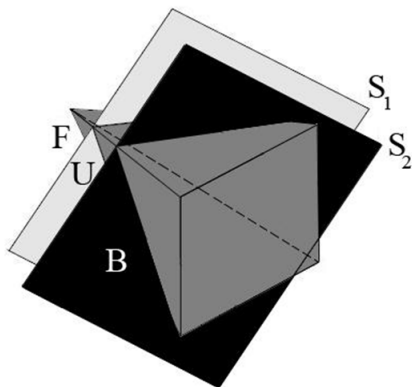


Figura: Automatização do Cubo RGB com a intersecção dos planos S1 e S2.

└ Metodologia

└ Métodos Desenvolvidos

Geodesic Matting

Foi desenvolvido um método para a geração do *alphamap* com restrições de tempo.

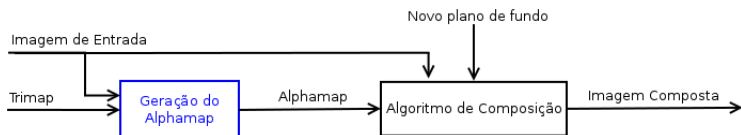


Figura: Pipeline do Matting Digital.

└ Metodologia

└ Métodos Desenvolvidos

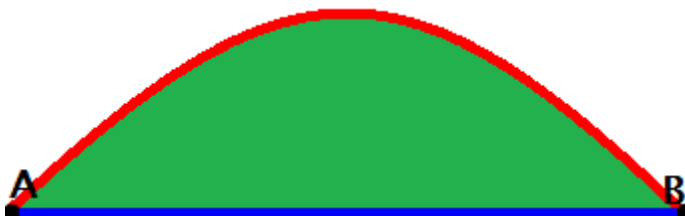
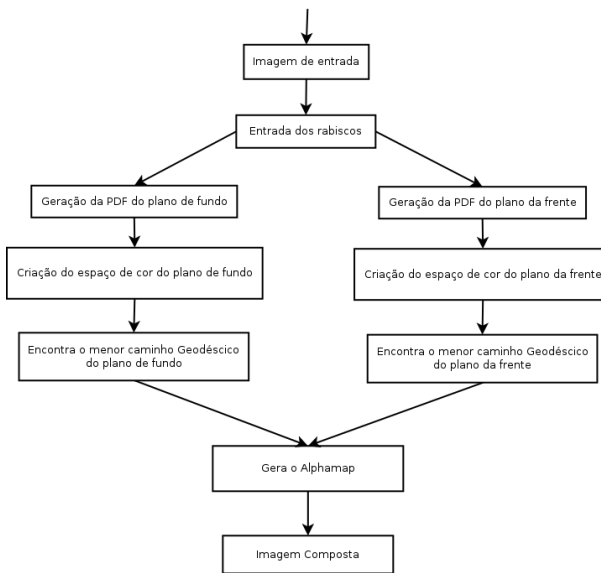
Geodesic Matting

Figura: A e B são os pontos, a distância desenhada em azul é a distância euclidiana e a distância desenhada em vermelho é a distância geodésica.

└ Metodologia

└ Métodos Desenvolvidos

Geodesic Matting

└ Metodologia

└ Métodos Desenvolvidos

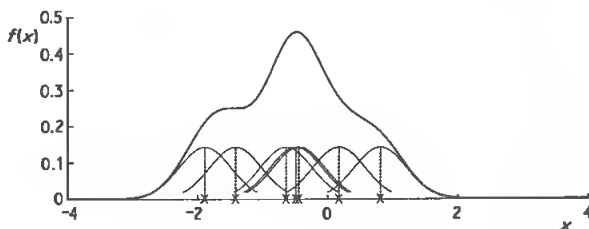
Geodesic Matting

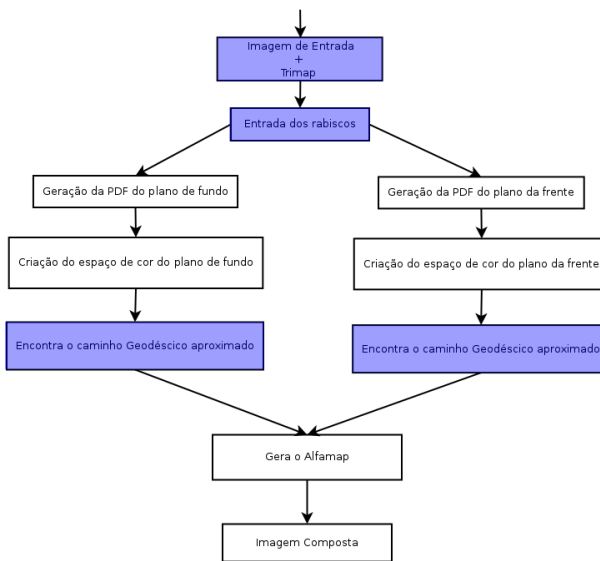
Figura: A curva maior mostra a $f(x)$ estimada e as menores mostram os *kernels* individuais. Fonte: [Silverman 1986].



Figura: Exemplo do *Geodesic Matting*. Fonte: [Bai e Sapiro 2009].

└ Metodologia

└ Métodos Desenvolvidos

Geodesic modificado

└ Metodologia

└ Métodos Desenvolvidos

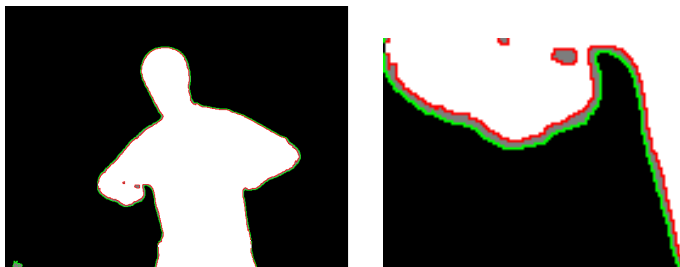
Geodesic modified

Figura: A cor verde representa os contornos do plano de fundo e a cor vermelha representa os contornos do plano da frente.

O menor caminho aproximado é encontrado por um algoritmo que caminha sempre para a posição com menor peso, sendo que o destino já é definido pela distância euclidiana.

APOD (Assess, Parallelize, Optimize, Deploy)

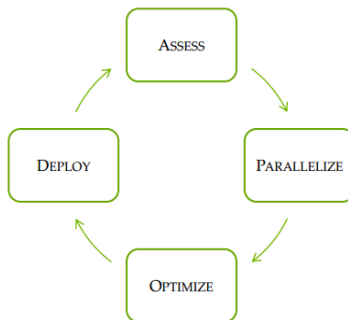


Figura: a técnica APOD, que é Avaliar, Paralelizar, Otimizar e Desenvolver. Fonte: [NVIDIA Corporation 2012]

└ Metodologia

└ Implementação em CUDA

Paralelização

Foram paralelizadas as seguintes partes:

- Algoritmo de *Chroma Key*;
- Geração automática de *trimap* utilizando o *Chroma Key*;
- Partes do algoritmo *Geodesic* Modificado:
 - Geração dos rabiscos;
 - Geração das PDFs;
 - Criação dos espaços de cor.

└ Metodologia

└ Implementação em CUDA

Paralelização

Primeiramente foi analisada a “capacidade de computação” das placas utilizadas e o tipo de processamento. A partir disso foi desenvolvido o código, melhorando assim o desempenho dos programas.

└ Metodologia

└ Implementação em CUDA

Paralelização

- Foi alocada memória na placa gráfica;
- Foram copiados os dados da memória do computador para a placa gráfica e da placa gráfica para a memória do computador;
- Para otimizar o programa, todos os *kernel*s (funções em CUDA) foram executados com a ocupação máxima do multiprocessadores, por meio das configurações de *threads* por bloco e quantidade de blocos na grade;
- As otimizações devem respeitar as características da placa gráfica.

Resultados

Testes iniciais

1 Introdução

2 Objetivos

3 Metodologia

4 Resultados

- Testes iniciais
- Resultados utilizando o *trimap* gerado pelo kinect e *chromakey*
- Resultados utilizando o *trimap* gerado por *chromakey*
- Testes em vídeo utilizando todo o *pipeline*

5 Conclusões e Trabalhos Futuros

6 Publicações

7 Referências Bibliográficas

Resultados

Testes iniciais

Imagen estática

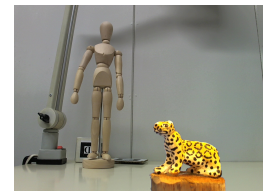
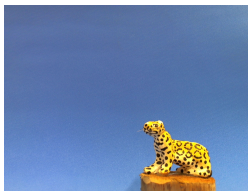


Tabela: Comparação de tempos utilizando o algoritmo de Van den Bergh & Lalioti (1999).

| Resolução | CPU (ms) | GPU (ms) | GPU sem transferência de memória (ms) |
|-----------|----------|----------|---------------------------------------|
| 2560x920 | 13,09 | 20,58 | 3,06 |
| 1280x960 | 2,98 | 5,50 | 0,79 |
| 640x480 | 0,78 | 1,46 | 0,24 |
| 320x240 | 0,16 | 0,45 | 0,09 |

Resultados

Testes iniciais

Vídeo



Tabela: Comparação de tempos em vídeos utilizando o algoritmo de Van den Bergh & Lalioti (1999).

| Vídeo | Tamanho (largura, altura, quadros) | CPU (ms) | GPU (ms) | GPU sem transferência de memória (ms) |
|--------|---------------------------------------|-------------|-------------|--|
| Vídeo1 | 160x120x353 | 0,099 | 0,278 | 0,023 |
| Vídeo2 | 160x120x2191 | 0,099 | 0,280 | 0,024 |
| Vídeo1 | 320x240x353 | 0,387 | 0,489 | 0,022 |
| Vídeo2 | 320x240x2191 | 0,381 | 0,511 | 0,022 |
| Vídeo1 | 640x480x353 | 1,429 | 1,441 | 0,033 |
| Vídeo2 | 640x480x2191 | 1,456 | 1,460 | 0,035 |

└ Resultados

└ Testes iniciais

Geração automática de *trimap*

Tabela: Comparação de tempos geração automática de *trimap*.

| Resolução | CPU (ms) | GPU (ms) | GPU sem transferência de memória (ms) |
|-----------|----------|----------|---------------------------------------|
| 2560x920 | 21,52 | 13,96 | 5,60 |
| 1280x960 | 5,45 | 3,72 | 1,40 |
| 640x480 | 1,1 | 0,99 | 0,38 |
| 320x240 | 0,47 | 0,31 | 0,13 |

Resultados

Resultados utilizando o *trimap* gerado pelo kinect e *chromakey*



Figura: Foto com
plano de fundo azul.



Figura: Mapa de
profundidade.

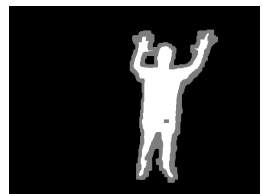


Figura: *Trimap*
gerado pelo Kinect.

Resultados

Resultados utilizando o *trimap* gerado pelo kinect e *chromakey*



Figura: Recorte feito pelo *Baeysian Matting*.



Figura: Recorte feito pelo *Robust Matting*.

Segundo [Wang e Cohen 2007], o *Robust Matting* é considerado como o método de melhor desempenho (dentre os métodos analisados), entretanto o resultado mostra que com um *trimap* impreciso este pode ser pouco eficiente.

└ Resultados

└ Resultados utilizando o *trimap* gerado por *chromakey*



Figura: Foto original.



Figura: Trimap.

Resultados

Resultados utilizando o *trimap* gerado por *chromakey*

Figura: Recorte feito pelo *Baeyesian Matting*.

Figura: Recorte feito pelo *Robust Matting*.

Figura: Recorte feito pelo *Geodesic* modificado.

Tabela: Comparação dos métodos com o *Robust Matting*.

| Método utilizado | UIQI | SSIM |
|---|--------|--------|
| <i>Bayesian Matting</i> | 0,9950 | 0,9997 |
| <i>Geodesic Matting</i> modificado (implementação em CPU) | 0,9993 | 0,9894 |
| <i>Geodesic Matting</i> modificado (implementação em GPU) | 0,9993 | 0,9894 |

Resultados

Resultados utilizando o *trimap* gerado por *chromakey*

Figura: Recorte feito pelo Geodesic modificado, com CPU.



Figura: Recorte feito pelo Geodesic modificado, com GPU.

Tabela: Comparação dos métodos.

| UIQI | SSIM |
|--------|--------|
| 0,9999 | 1,0000 |

Resultados

Testes em vídeo utilizando todo o *pipeline*

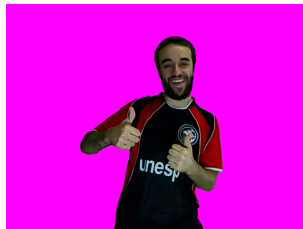


Figura: Figura de um quadro do vídeo.

Tabela: Implementação sequencial.

| Tamanho (largura x altura) | FPS |
|----------------------------|------|
| 320 x 240 | 42,4 |
| 640 x 480 | 13,4 |

Tabela: Implementação paralela.

| Tamanho (largura x altura) | FPS |
|----------------------------|------|
| 320 x 240 | 63,3 |
| 640 x 480 | 19,6 |

- 1 Introdução
- 2 Objetivos
- 3 Metodologia
- 4 Resultados
- 5 Conclusões e Trabalhos Futuros
- 6 Publicações
- 7 Referências Bibliográficas

Conclusões

- O método proposto para o *pipeline* viabiliza a sua utilização em aplicações com restrições de tempo;
- A geração automática de *trimap* proposta neste trabalho pode ser utilizada em outros algoritmos já codificados em CUDA;
- As análises feitas mostram que o uso da arquitetura CUDA pode acelerar o algoritmo do *matting* digital, todavia a transferência de dados é o principal entrave;
- Os métodos propostos podem ser utilizados para produções de baixo custo;
- O Kinect não foi mais utilizado por ter uma qualidade de imagem muito inferior a da câmera, dessa forma optou-se por implementar o *pipeline* todo utilizando apenas esta.

Trabalhos Futuros

- Aplicação de outros métodos de resolução de área de incerteza (tais como, *Poisson Matting* e o *Random Walk*);
- Uso do *trimap* paralelizado juntamente com métodos já feitos para GPGPU, como o *Random Walk*, que segundo [Wang e Cohen 2007] já é implementado em GPGPU;
- Aperfeiçoar o algoritmo *Geodesic* modificado, visando maior desempenho com imagens de alta resolução, utilizando, para isto, a continuação da abordagem APOD no método paralelizado;
- Uso do Kinect como informação extra, acoplado juntamente com uma câmera fullHD, utilizando ou não a técnica de *chroma key*. Isto viabilizaria sua utilização em aplicações de Estúdios Virtuais e Videoconferência.

1 Introdução

2 Objetivos

3 Metodologia

4 Resultados

5 Conclusões e Trabalhos Futuros

6 Publicações

7 Referências Bibliográficas

- Daniel Z. Vielmas, Antonio C. Sementille, Henrique F. de Arruda, Antonio C. T. Blaia Junior, João F. Marar; Geração automática de trimap utilizando chromakey Congresso de Iniciação Científica da Unesp. 2012.
- GULO, C. A. S. J.; Arruda, H.F.; SEMENTILLE, A. C. ;ARAUJO, A. F.; TAVARES, J. M. R.S. . Método de suavização de imagem baseado num modelo variacional paralelizado em arquitetura CUDA. In: GPU Computing Developer Forum, 2012, Curitiba, XXXII Congresso da Sociedade Brasileira de Computação. Porto Alegre: Sociedade Brasileira de computação, 2012.
- BLAIA JUNIOR, A.C. T.; VIELMAS, D.Z.; ARRUDA, H.F.; AGUILAR, I. A.; SEMENTILLE, A. C. . Automatic Trimap Generation with Structured Lighting and Chromakey. In SIBGRAPI 2012, Ouro Preto. Workshop of Works in progress, 2012.

1 Introdução

2 Objetivos

3 Metodologia

4 Resultados

5 Conclusões e Trabalhos Futuros

6 Publicações

7 Referências Bibliográficas

- BAI, X.; SAPIRO, G. Geodesic Matting: A Framework for Fast Interactive Image and Video Segmentation and Matting. *International Journal of Computer Vision*, v. 82, n. 2, p. 113–132, 2009.
- BERGH, F. van den; LALIOTI, V. Software chroma keying in an immersive virtual environment. *South African Computer Journal*, Citeseer, v. 24, p. 155–162, 1999.
- CHUANG, Y. et al. A bayesian approach to digital matting. In: IEEE. *Computer Vision and Pattern Recognition, 2001. CVPR 2001. Proceedings of the 2001 IEEE Computer Society Conference on*. [S.I.], 2001. v. 2, p. II–264.
- NVIDIA, C. Nvidia cuda c programming guide. *NVIDIA Corporation*, 2011.
- NVIDIA Corporation. *NVIDIA CUDA C Best Practices Guide*. 2012. Version 3.2.
- PORTER, T.; DUFF, T. Compositing digital images. *ACM Siggraph Computer Graphics*, ACM, v. 18, n. 3, p. 253–259, 1984.
- SILVERMAN, B. W. *Density estimation for statistics and data analysis*. London: Chapman and Hall, 1986.

- ▶ SMITH, A. R.; BLINN, J. F. Blue screen matting. In: *Proceedings of the 23rd annual conference on Computer graphics and interactive techniques*. New York, NY, USA: ACM, 1996. (SIGGRAPH '96), p. 259–268. ISBN 0-89791-746-4.
- ▶ SUN, J. et al. Flash matting. *ACM Trans. Graph.*, v. 25, n. 3, p. 772–778, 2006.
- ▶ WANG, J.; COHEN, M. Optimized color sampling for robust matting. In: IEEE. *Computer Vision and Pattern Recognition, 2007. CVPR'07. IEEE Conference on*. [S.I.], 2007. p. 1–8.
- ▶ WANG, J.; COHEN, M. F. Image and Video Matting: A Survey. *Foundations and Trends in Computer Graphics and Vision*, v. 3, n. 2, p. 97–175, 2007.